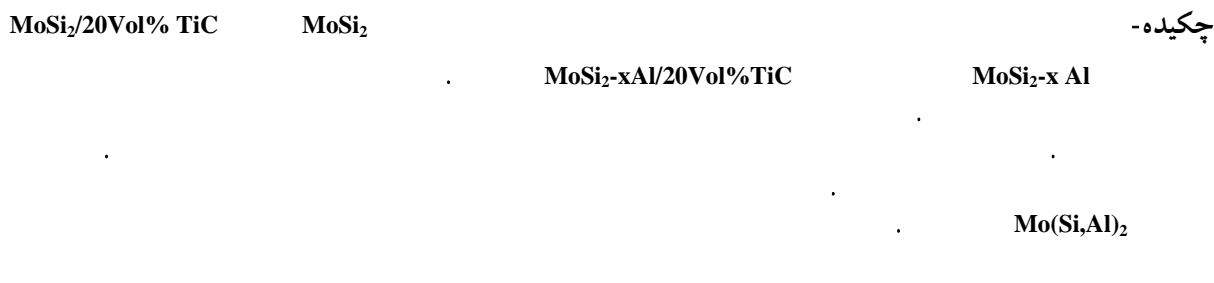


ارزیابی فازی ترکیبات آلیاژی و کامپوزیتی شده‌ی دی سیلیساید مولبیدن با آلومنیوم و کاربید تیتانیوم

پوریا صفائی^{*}، غلامحسین برهانی و سعیدرضا بخشی
دانشکده مهندسی مواد، دانشگاه صنعتی مالک اشتر

(دریافت مقاله: ۱۳۹۱/۰۴/۱۲ - دریافت نسخه نهایی: ۱۳۹۲/۰۸/۲۵)



Phase Evaluation of Alloyed and Composed Molybdenum disilicide by Al and TiC

P. Safaie*, G. H. Borhani and S. R. Bakhshi

Department of Materials Engineering, Malek Ashtar University of Technology

Abstract: In this study, pure powders such as molybdenum, silicon, aluminum and titanium carbide were utilized to produce MoSi₂ compound, MoSi₂ /20 Vol % TiC composite, MoSi₂-x Al alloyed compound and MoSi₂-x Al/20 Vol % TiC alloyed composite. The initial powders were mixed in specified ratios, and then, were activated by mechanical milling. Milled powders were compacted, synthesized and sintered in the temperature range of 1100 -1400 °C. SEM was used to investigate the microstructural change and XRD for identification of phases. Effect of aluminum addition on phase formation was investigated. Addition of aluminum by over 9 atomic percent resulted in the formation of Mo(Si,Al)₂ in alloyed matrix.

Keywords: Molybdenum disilicide, Composite, Aluminum, Titanium carbide.

*: مسئول مکاتبات، پست الکترونیکی: pouriadaneshjo@gmail.com

۱- مقدمه

برخی از اتم های Si با Al در ترکیب MoSi_2 وجود دارد. در این حالت فاز $\text{Mo}(\text{Si},\text{Al})_2$ با ساختار هگزاگونال C40 تشکیل می شود [۲۰ و ۲۱]. بسته به میزان آلومینیم جانشین شده به جای سیلیسیوم، فاز زمینه می تواند ساختار تتراگونال C11_b یا هگزاگونال C40 و یا ترکیبی از این دو فاز را داشته باشد [۲۱]. حضور کاربید تیتانیوم در زمینه MoSi_2 نیز سبب بهبود استحکام خمشی، چقرمگی شکست و سختی کامپوزیت های $\text{MoSi}_2\text{-TiC}$ در مقایسه با ترکیب MoSi_2 شده است [۹]. با وجود تاثیرات مثبت افزودن Al و TiC بر MoSi_2 گزارشی در خصوص افزودن هم زمان این دو ماده وجود ندارد. در این تحقیق اثر افزودن هم زمان آلومینیم و کاربید تیتانیوم بر MoSi_2 بررسی شد.

۲- مواد و روش تحقیق

در این تحقیق از پودرهای خالص مولیبدن، سیلیسیم و آلومینیم مطابق با جدول (۱) استفاده شد. پودرها با نسبت های وزنی مشخص مطابق با ترکیبات استکیومتری نشان داده شده در جدول (۲) با یکدیگر مخلوط شده و توسط دستگاه آسیاب کاری مکانیکی آسیاب شدند. عملیات آسیاب با سرعت ۶۵ دور بر دقیقه، نسبت گلوله به پودر ۱:۲۰، مدت زمان ۲۰ ساعت و تحت اتمسفر گاز آرگون در دمای محیط صورت گرفت. از پودر اسید استاریک خشک به میزان ۰/۰۵ درصد وزنی به عنوان روان کار برای جلوگیری از کلوخه شدن ذرات و کنترل جوش سرد در کلیه مخلوط های پودری استفاده شد. پودرهای آسیاب شده در داخل کوره تحت خلاء 10^{-3} تا 10^1 در مدت زمان ۱/۵ ساعت و در دمای ۳۵۰ تا ۴۵۰ درجه هی سانتی گراد، گاز زدایی و سپس در فشار ۵۵۰ مگاپاسکال به نمونه هایی به شکل دیسک به ضخامت ۵ میلی متر و قطرهای ۱۵ و ۲۵ میلی متر تبدیل شدند. نمونه های پرس شده به مدت ۷ ساعت در دمای ۱۱۰۰ درجه سانتی گراد با نرخ گرمایش ۱۱ درجه سانتی گراد بر دقیقه، تحت تأثیر گاز محافظ آرگون، در کوره نگه داری

ترکیب بین فلزی MoSi_2 دارای خواص ویژه ای نظیر نقطه ذوب بالا (۲۰۳۰ درجه سانتی گراد)، مقاومت به اکسیداسیون عالی در دمای بالا تشکیل لایه محافظ و چسبنده SiO_2 مقاومت سایشی خوب به دلیل سختی و مدول الاستیک بالا [۱]، هدایت الکتریکی و گرمایی بالا، چگالی نسبتاً پایین (۶/۲۴ گرم بر سانتی متر مکعب) [۲]، انعطاف پذیری خوب در دمای بالا [۳] و ضریب انبساط حرارتی نسبتاً پایین است [۴-۶]. اما مشابه سایر ترکیبات بین فلزی در دمای زیر ۱۰۰۰ درجه سانتی گراد استحکام و چقرمگی شکست و در دمای بالای ۱۲۰۰ درجه سانتی گراد مقاومت به خرزش آن پایین است [۷]. همچنین مقاومت به اکسیداسیون این ماده در محدوده ۴۰۰-۶۰۰ درجه سانتی گراد کم بوده و ممکن است کل ماده به یکباره تخریب شود [۵]. در دهه های گذشته تحقیقات زیادی برای بهبود این محدودیت ها انجام گرفته است. اضافه کردن تقویت کننده ها برای دست یابی به یک ریز ساختار چند فازی یکی از راه های بهبود خواص می باشد. در همین راستا گزارش های زیادی مبنی بر بهبود خواص کامپوزیت های پایه ای MoSi_2 تقویت شده توسط تقویت کننده های سرامیکی گزارش شده است [۸-۱۰]. استفاده از افزودنی های فلزی و جانشین شدن آنها در موقعیت اتم های Si و Mo در شبکه بلوئی و آلیاژی کردن ترکیب MoSi_2 یکی دیگر از راه های بهبود خواص آن است. از جمله این افزودنی ها می توان به عناصر V, Nb, Mg, Al و Cr اشاره کرد [۱۱-۱۴]. در این میان Al بیشتر مورد توجه قرار گرفته است [۱۵-۱۷]. فاز MoSi_2 با ساختار C40 یک فاز پایدار در دمای محیط نیست، ولی احتمال پایدار شدن این فاز با اضافه شدن V, Nb, Cr, Ta و Al وجود دارد [۱۸]. با ارزیابی ترمودینامیکی سیستم Mo-Si-Al می توان انتظار داشت که حضور Al و نفوذ آن در ترکیب MoSi_2 سبب ایجاد خواص بهینه شود. در صورت مخلوط سازی نسبت مشخصی از مواد اولیه مولیبدن، سیلیسیم و آلومینیوم امکان جایگزینی

جدول ۱- متوسط اندازه دانه مواد اولیه

متوسط اندازه دانه	نوع پودر
۶ میکرون	سیلیسیم
۵ میکرون	مولیبدن
۲۷ میکرون	آلومینیم
۹ میکرون	کاربید تیتانیوم

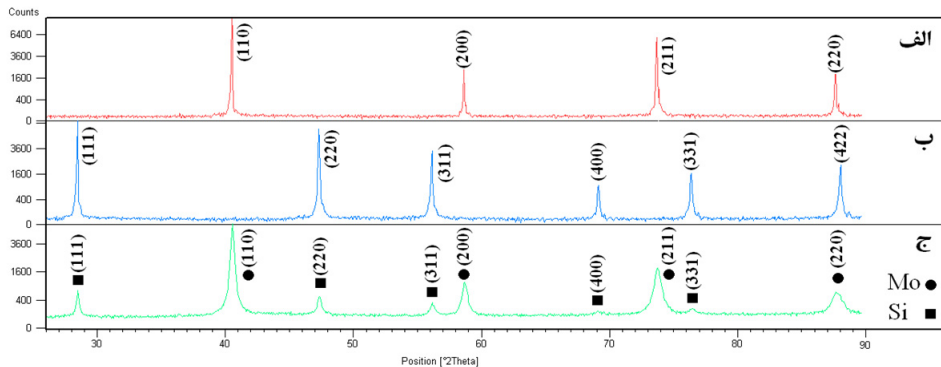
جدول ۲- ترکیب شیمیایی نمونه‌های مورد بررسی

شماره نمونه	ترکیب شیمیایی نمونه‌ها بر حسب درصد وزنی	ترکیب شیمیایی مورد نظر بر اساس ترکیب استوکیومتری
۱	63Mo-37Si	MoSi ₂
۲	61.45Mo-36.1Si-2.45Al	MoSi ₂ -4.5at%Al
۳	59.85Mo-35.15Si-5Al	MoSi ₂ -9at%Al
۴	58.175Mo-34.15Si-7.675Al	MoSi ₂ -13.5at %Al
۵	49.538Mo-29.094Si-21.368TiC	MoSi ₂ /20Vol% TiC
۶	48.149Mo-28.286 Si-1.92Al-20.645TiC	MoSi ₂ -4.5at%Al/20Vol% TiC
۷	46.721Mo-27.439 Si-3.903Al-21.937TiC	MoSi ₂ -9at%Al/20Vol % TiC
۸	45.246Mo-26.56 Si -5.969Al-22.225TiC	MoSi ₂ -13.5at %Al/20Vol % TiC

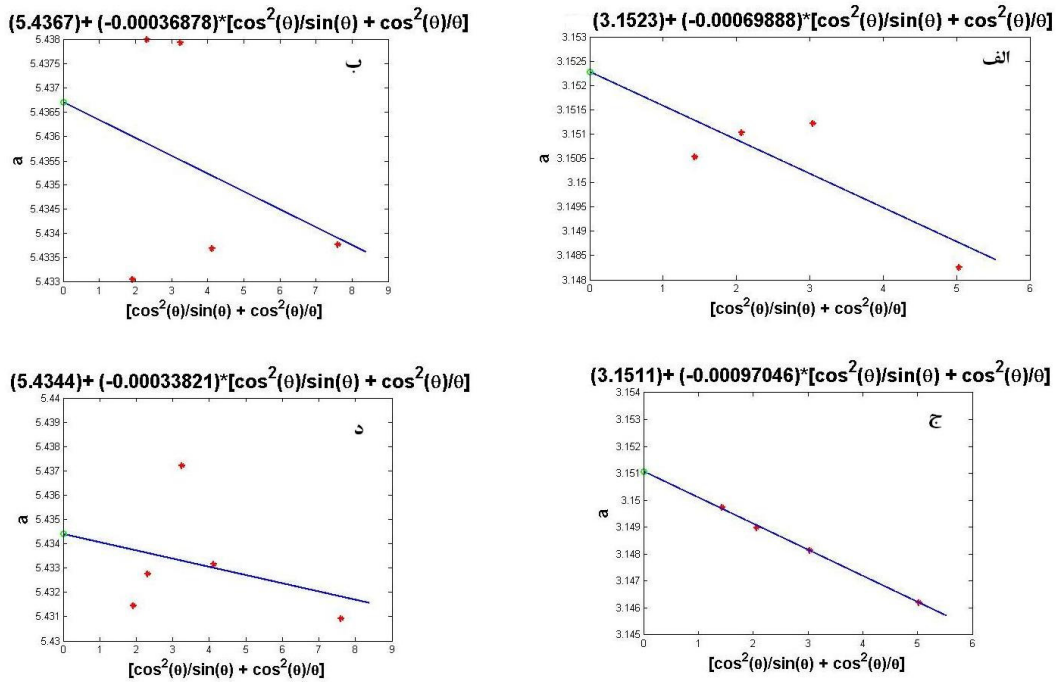
۳- نتایج و بحث

در شکل (۱) الگوی پراش پرتو ایکس پودر اولیه مولیبدن، پودر اولیه سیلیسیم و مخلوط پودری ۵Al-35.15Si-9.85Mo بر حسب درصد وزنی پس از ۲۰ ساعت آسیاب کاری نشان داده است. مشخص است که آسیاب کاری مکانیکی موجب کاهش شدت و افزایش عرض پیک‌های هر دو عنصر Mo و Si شده که توسط سایر محققان نیز گزارش شده است [۲۲]. کاهش ارتفاع پیک‌های سیلیسیم بیشتر از پیک‌های مولیبدن اتفاق افتاده است، به طوری که پس از ۲۰ ساعت آسیاب کاری تمامی پیک‌های مولیبدن کاملاً واضح تر به نظر می‌رسند. پارامتر شبکه مولیبدن و سیلیسیم قبل و بعد آسیاب کاری از معادله نلسون-ریلی تعیین شد. پارامتر شبکه مولیبدن و سیلیسیم قبل تعیین شد که نتایج این محاسبات در شکل (۲) نشان داده شده است. با توجه به رفتار پیک‌ها جایه‌جایی در آن‌ها صورت

شدند تا عمل سنتز و بخشی از سیتر در نمونه‌ها انجام شود. نمونه‌های سنتز شده در دمای ۱۱۰۰ درجه سانتی گراد دوباره با نرخ گرمایش ۲۲ درجه سانتی گراد بر دقيقه تا دمای ۱۴۰۰ درجه سانتی گراد در اتمسفر گاز محافظ آرگون و به مدت ۳ ساعت تحت عملیات سیتر تکمیلی قرار گرفتند. برای بررسی فازهای تشکیل شده در نمونه‌ها از دستگاه پراش پرتوی ایکس با اشعه‌ی تک فام K_α در طول موج ۱/۵۴۲ انگstrom استفاده شد. زمان هر گام یک ثانیه و اندازه‌ی هر گام ۰/۰۵ درجه است و محدوده‌ی مورد بررسی از ۲۰ تا ۱۰۰ درجه انتخاب شد. پارامتر شبکه مولیبدن و سیلیسیم قبل و بعد آسیاب کاری توسط معادله نلسون-ریلی تعیین شد. به منظور مشاهده و بررسی ریزساختار و تعیین اندازه‌ی ذرات پودرهای اولیه و محصولات آسیاب کاری شده از میکروسکوپ الکترونی رویشی استفاده شد.



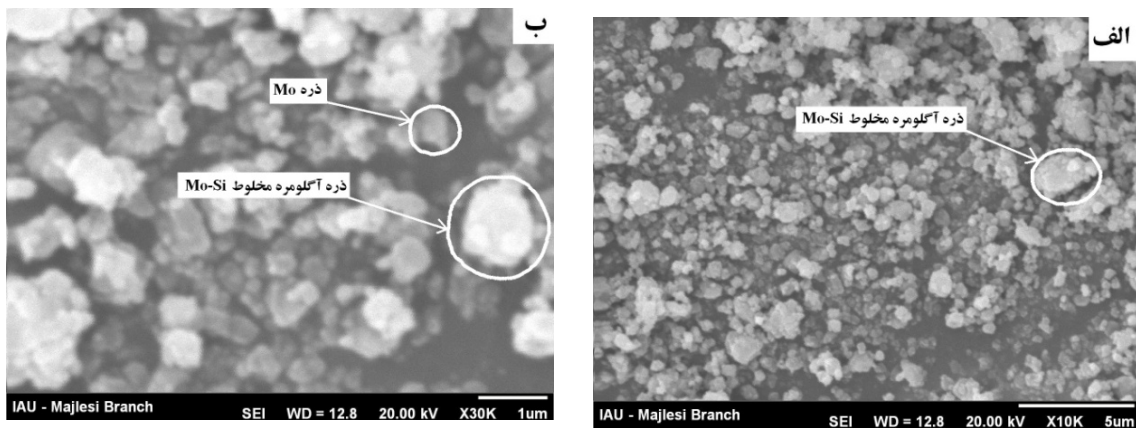
شکل ۱- الگوهای پراش پرتو ایکس (الف) پودر مولیبدن اولیه (ب) پودر سیلیسیم اولیه و (ج) مخلوط پودری Mo-35.15Si-5Al به صورت وزنی پس از ۲۰ ساعت آسیاب کاری مکانیکی



شکل ۲- نمودار تعیین پارامتر شبکه با توجه به معادله نلسون-ریلی (الف) مولیبدن اولیه (ب) سیلیسیم اولیه (ج) مولیبدن پس از ۲۰ ساعت آسیاب کاری و (د) سیلیسیم پس از ۲۰ ساعت آسیاب کاری

مولیبدن ۱۳۶۳^۰/۱۳۲ نانومتر و سیلیسیم ۱۳۲^۰/۱۳۶ نانومتر گزارش شده [۲۳]. با توجه به اختلاف شعاع اتمی، در صورت انحلال و ورود سیلیسیم به شبکه مولیبدن پیک‌های آن باید به

نگرفته و پارامتر شبکه سیلیسیم و مولیبدن تغییر نکرده است که این نشان می‌دهد که در طول آسیاب کاری مکانیکی هیچ گونه انحلالی در سیستم اتفاق نیفتد. شعاع اتمی



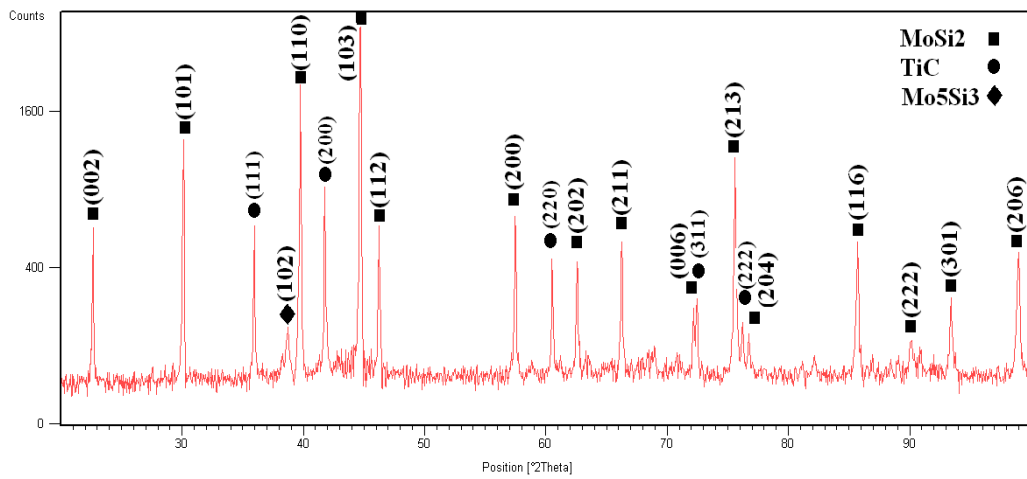
شکل ۳- تصویر میکروسکوپی الکترونی روبشی مخلوط پودری Mo – ۳۷ % Si پس از ۲۰ ساعت آسیاب کاری مکانیکی در بزرگنمایی های متفاوت

دارد [۲۶]. در شکل (۳) تصویر میکروسکوپ الکترونی روبشی مخلوط پودری مولیبدن و سیلیسیم با نسبت استوکیومتری MoSi_2 پس از ۲۰ ساعت آسیاب کاری مکانیکی را نشان می دهد. توزیع مناسب ذرات و کاهش اندازه ذرات نسبت به پودرهای اولیه به وضوح قابل مشاهده است. به طور پراکنده یک سری از ذرات به صورت آگلومره اند. هر چه ذرات ریزتر شوند امکان آگلومره شدن آنها بیش تر می شود [۲۷]. متوسط اندازه ذرات پس از ۲۰ ساعت آسیاب کاری در حدود یک میکرون اندازه گیری شد. شکل (۳-(ب)) ریز ساختار ذرات را با ابعاد بزرگ تر نشان داده است که هر ذره نشانه ای از مجموعه ذرات ریزتر است و این حالت مخصوص ذرات پس از آسیاب کاری است. به عبارتی شکل (۳-ب) آستانه ای آلیاژ شدن یا ترکیب ذرات بسیار ریز را نشان می دهد.

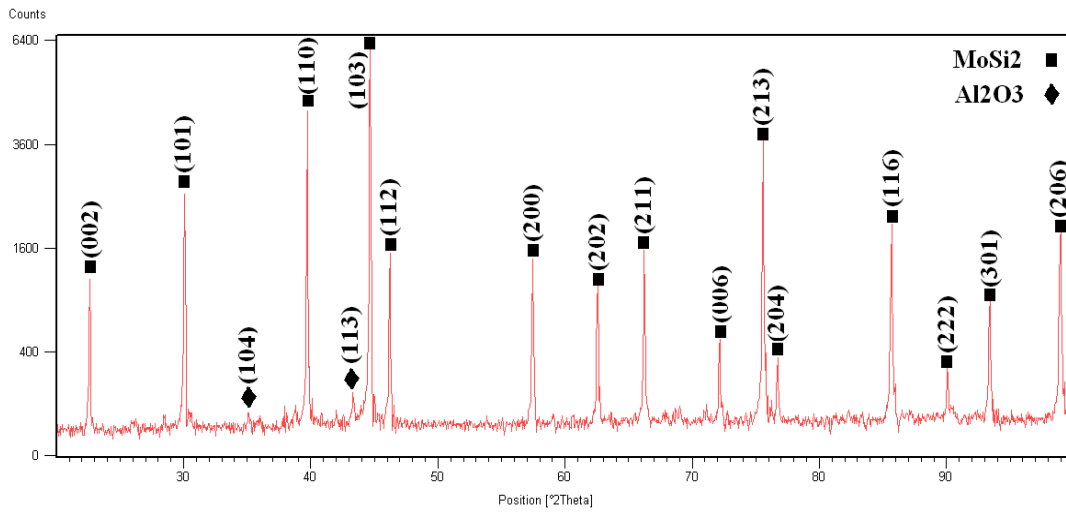
در شکل (۴) الگوی پراش پرتو ایکس کامپوزیت $\text{MoSi}_2/20\text{Vol \% TiC}$ ارائه شده است. پیک های مربوط به فاز های MoSi_2 با ساختار تتراتیگونال b و TiC با $\text{C}11_b$ مکعبی به وضوح مشخص شده است. پیک های مربوط به عناصر Mo و Si کاملا از بین رفته، فاز MoSi_2 در

سمت زوایای بیش تر جایه جا می شد. تنها اثر آسیاب کاری می تواند در کوچک کردن اندازه دانه ها و همگن سازی پودرها باشد.

از الگوی پراش پرتو ایکس به نظر می رسد کاهش ارتفاع پیک های سیلیسیم بیش تر از پیک های مولیبدن اتفاق افتاده است، به طوری که پس از ۲۰ ساعت آسیاب کاری تمامی پیک های مولیبدن کاملا واضح تر به نظر می رستند. دلیل این را می توان به بالا بودن ضریب جذب مولیبدن نسبت به سیلیسیم و ایجاد روکشی از مولیبدن بر روی سیلیسیم در حین آسیاب کاری نسبت داد که منجر به جذب بیش تر ایکس توسط مولیبدن می شود [۲۴]. از آنجایی که در مقادیر کم تر از ۰.۶٪ وزنی نمی توان پیک های واضحی از عنصر یا ترکیب در تحلیل پرتو ایکس را مشاهده کرد [۲۵]، عنصر Al نیز در الگوی پراش پرتو ایکس قابل شناسایی نیست. سیلیسیم یک فاز ترد و مولیبدن فازی نرم است و مولیبدن فاز نرم موجود در سیستم از همان ابتدا در معرض ضربه و تغییر شکل قرار می گیرد. به نظر می رسد در آغاز آسیاب کاری مرحله ای اول ذرات پودر مولیبدن در اثر نیروی فشاری ناشی از برخورد گلوله ها مسطح می شوند و در ادامه می عملیات آسیاب، کاهش جوش سرد بین ذرات و ریز شدن بیشتر ذرات را به همراه



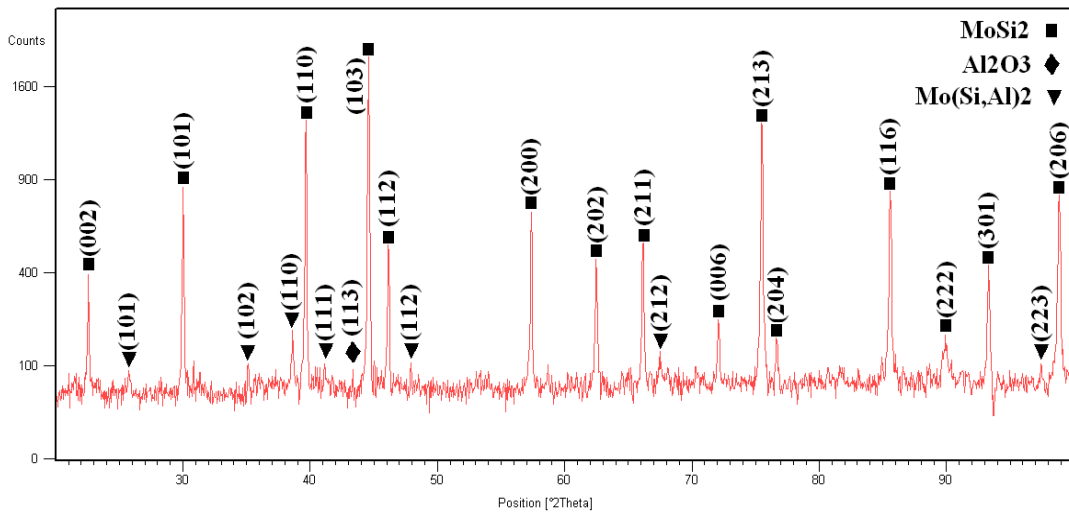
شکل ۴- الگوی پراش پرتو ایکس کامپوزیت $\text{MoSi}_2/20 \text{ vol\% TiC}$ پس از عملیات سیتر تکمیلی



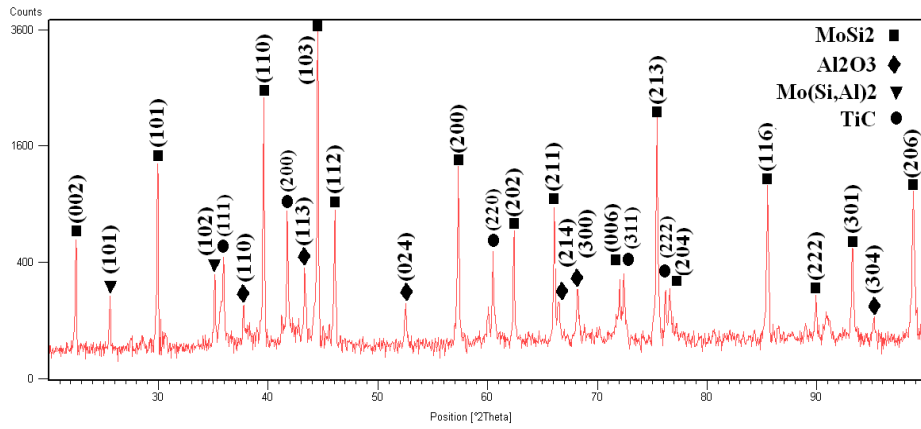
شکل ۵- الگوی پراش پرتو ایکس آلیاژ $\text{MoSi}_2 - 4.5 \text{ at\% Al}$ پس از عملیات سیتر تکمیلی

کامپوزیت $\text{MoSi}_2/20\text{Vol\% TiC}$ مشاهده نشد. کوتون و همکارانش [۳۰] مشاهده کرده اند که SiO_2 به صورت یک فاز شیشه‌ای (آمورف) در MoSi_2 تشکیل می‌شود. وجود پیک Mo_3Si_5 باشدت بسیار کم بیان‌گر تشکیل این فازها به میزان بسیار ناچیز در این کامپوزیت است. همچنین مشخص شده است که در صورت وجود مقدار کمی SiO_2 در مخلوط پودری، در نهایت پس از تفت جوشی MoSi_2 مقدار ناچیزی Mo_3Si_5 نیز تولید

تکمیل شده است. فاز TiC در طی سیکل‌های گرمایی کاملاً پایدار مانده است. زیهو و همکارانش [۲۸] نیز تشکیل فاز MoSi_2 با مصرف کامل Mo و Si در کنار TiC را گزارش کرده‌اند. محاسبات ترمودینامیکی نشان می‌دهد که MoSi_2 و TiC تا دمای ۲۰۰۰ درجه کلوین با یکدیگر واکنشی نداده، در کنار هم کاملاً پایدار می‌مانند [۲۹]. پیک‌های SiO_2 در الگوی پراش پرتو ایکس کامپوزیت



شکل ۶- الگوی پراش پرتو ایکس آلیاژ MoSi_2 - 9 at% Al پس از عملیات سیتر تکمیلی

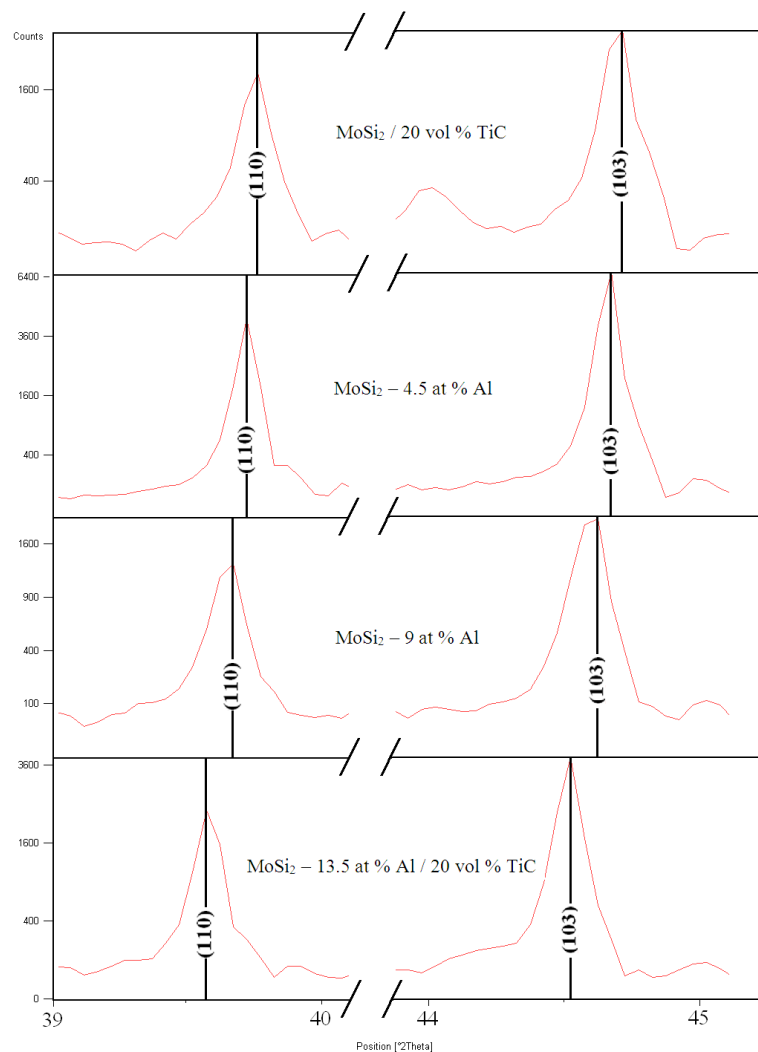


شکل ۷- الگوی پراش پرتو ایکس آلیاژ MoSi_2 - 13.5 at% Al / 20 vol% TiC پس از عملیات سیتر تکمیلی

علاوه بر پیک‌های فازهای MoSi_2 با ساختار_b C11 و Al_2O_3 می‌توان پیک‌های مربوط به فاز $\text{Mo}(\text{Si},\text{Al})_2$ با ساختار C40 را نیز مشاهده کرد. میترا و همکارانش [۳۲] نیز وجود فاز $\text{Mo}(\text{Si},\text{Al})_2$ را در مقادیر نه درصدی اتمی آلومینیم و بالاتر را گزارش کرده‌اند. آلومینیوم توانایی حل شدن در شبکه MoSi_2 را دارا بوده و زمانی که به مقدار زیاد حل شود، می‌تواند تشکیل فاز₂ $\text{Mo}(\text{Si},\text{Al})_2$ را موجب شود [۲۰].

می‌شود [۲۸]. مینگ و همکارانش [۳۱] نیز وجود مقدار ناچیزی SiO_2 و Mo_5Si_3 را در قطعات ساخته شده MoSi_2 و کامپوزیت MoSi_2/TiC گزارش کرده‌اند.

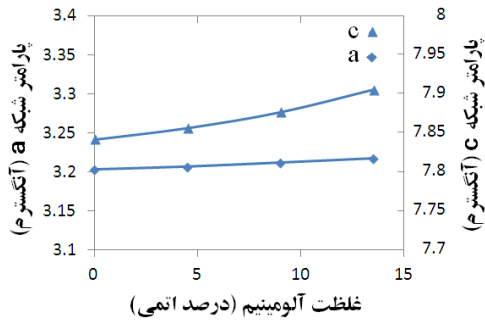
در الگوی تفرق اشعه ایکس آلیاژ MoSi_2 - 4.5 at % Al، شکل (۵) پیک‌هایی از فاز MoSi_2 با ساختار_b C11 و فاز Al_2O_3 دیده می‌شود. این در حالی است که در الگوی پراش پرتو ایکس آلیاژهای MoSi_2 -9at%Al (شکل (۶)) و آلیاژ کامپوزیتی MoSi_2 -13.5 at% Al/20Vol % TiC (شکل (۷))،



شکل ۸- موقعیت پیک‌های (110) و (103) فاز MoSi_2 در کامپوزیت $\text{MoSi}_2/20\text{Vol\%TiC}$ آلیاژ‌های $\text{MoSi}_2-13.5\text{at\%Al}/20\text{Vol\%TiC}$ و $\text{MoSi}_2-9\text{at\%Al}$ و $\text{MoSi}_2-4.5\text{at\%Al}$ (به ترتیب مربوط به نمونه‌های شماره‌ی ۵، ۲، ۳ و ۸) در الگوی پراش پرتو ایکس

نشان دهنده‌ی افزایش حجم تولید این ترکیب با افزایش غلظت Al در سیستم بوده، هم‌چنین احتمال تشکیل Al_2O_3 و وجود آلیاژهای $\text{MoSi}_2-4.5\text{at\%Al}$ و $\text{MoSi}_2-9\text{at\%Al}$ و کامپوزیت $\text{MoSi}_2/20\text{Vol\%TiC}$ در MoSi_2 فاز (103) نیز وجود دارد. در شکل (۸) موقعیت پیک‌های (110) و (103) در کامپوزیت $\text{MoSi}_2/20\text{Vol\%TiC}$ در آلیاژهای $\text{MoSi}_2-4.5\text{at\%Al}$ و $\text{MoSi}_2-9\text{at\%Al}$ و کامپوزیت

در آلیاژهای $\text{MoSi}_2-4.5\text{at\%Al}$ و $\text{MoSi}_2-9\text{at\%Al}$ پیک‌های Al_2O_3 به طور شاخص مشخص نیست چرا که آنها احتمالاً اندازه‌ی خیلی کوچک‌تری در مقایسه با پیک‌های MoSi_2 و TiC دارند. از طرفی خیلی از پیک‌های Al_2O_3 با پیک‌های $\text{Mo}(\text{Si}, \text{Al})_2$ هم پوشانی دارد [۳۲]. شدت پیک‌های $\text{Mo}(\text{Si}, \text{Al})_2$ با زیاد شدن غلظت Al افزایش یافته است که



شکل ۹- تغییرات پارامتر شبکه‌ی a و c بر حسب غلظت Al

جدول ۳- مقادیر پارامتر شبکه‌ی a و c بر حسب آنگسترم برای ترکیبات مختلف

c	a	ترکیب شیمیابی نمونه
۷/۸۴۲۱	۳/۲۰۳۴	MoSi ₂ /20Vol% TiC
۷/۸۵۶۷	۳/۲۰۷۰	MoSi ₂ -4.5at%Al
۷/۸۷۶۸	۳/۲۱۲۱	MoSi ₂ -9at%Al
۷/۹۰۵۴	۳/۲۱۷۵	MoSi ₂ -13.5at%Al/20Vol% TiC

و ۳/۱ درصد اتمی Al به صورت محلول جامد در MoSi₂ وجود خواهد داشت [۳۲]. به نظر می‌رسد، اتم‌های Al جایگزین اتم‌های Si در MoSi₂ شده، تشکیل یک محلول جامد را می‌دهند. شعاع اتم‌های Al در پیوندهای کوالانسی $1/26\text{ \AA}^{\circ}$ است، در حالی که شعاع اتم Si در همان پیوند $1/17\text{ \AA}^{\circ}$ است. این موضوع باعث تغییر فاصله‌ی بین صفحات اتمی و در نتیجه جایه‌جایی پیک‌ها می‌شود بدون این که ساختار C11_b تغییر کند [۳۳]. در نتیجه مقادیر پارامتر شبکه‌ی c_0 ، a_0 مطابق شکل (۹) تغییر می‌کند و منجر به افزایش حجم سلول واحد می‌شود. با استفاده از روش استاندارد داخلی و الگوی پراش پرتو ایکس مقادیر فازهای موجود در نمونه محاسبه شد که نتایج آن در جدول (۴) گزارش شده است. مشاهده می‌شود که در حضور Al فاز Mo₅Si₃ تشکیل نشده است. واکنش Al و SiO₂ و منجر به تشکیل Al₂O₃ و مصرف SiO₂ می‌شود. در عدم حضور Al شرایط برای تشکیل Mo₅Si₃ فراهم نمی‌شود. همچنین با

آلیاژی MoSi₂-13.5 at % Al/20Vol % TiC (به ترتیب مربوط به نمونه‌های شماره‌ی ۵، ۲، ۳ و ۸) در الگوی پراش پرتو ایکس آنها نشان داده شده است. مقایسه‌ی موقعیت پیک‌های الگوی پراش پرتو ایکس نمونه‌ها نشان می‌دهد که یک جایه‌جایی در موقعیت پیک‌های MoSi₂ آلیاژی شده با مقادیر مختلف Al نسبت به پیک‌های MoSi₂ در کامپوزیت MoSi₂/20Vol% TiC وجود دارد. این جایه‌جایی و تغییر در پارامتر شبکه دلالت بر این دارد که Al به صورت محلول جامد در شبکه حل شده، پارامتر شبکه را تغییر می‌دهد. پارامترهای شبکه با استفاده از روش کمترین مجموع مربعات محاسبه شد [۲۵]. تغییرات پارامتر شبکه‌ی c_0 ، a_0 بر حسب غلظت Al در شکل (۹) نشان داده شده است. مقادیر پارامتر c و a برای کامپوزیت MoSi₂/20Vol% TiC، آلیاژهای MoSi₂-9at%Al و MoSi₂-4.5at%Al و کامپوزیت آلیاژی MoSi₂-13.5 at % Al/20Vol % TiC در جدول (۳) ارائه شده است. گزارش شده است که با افزودن $2/8$ ، $5/5$ و $2/5$ درصد اتمی Al به ترتیب مقادیر $5/5$ ، $4/5$ و $3/5$ مربوط به نمونه شده است.

جدول ۴- درصد وزنی فازهای موجود در نمونه‌ها

درصد وزنی فازهای					ترکیب شیمیایی نمونه‌ها
Mo ₅ Si ₃	Al ₂ O ₃	Mo(Si,Al) ₂	TiC	MoSi ₂	
۶	-	-	۲۳	۷۱	MoSi ₂ 20Vol% TiC
-	۱	-	-	۹۹	MoSi ₂ 4.5at% Al
-	۵	۵	-	۹۰	MoSi ₂ 9 at% Al
-	۷	۳	۱۶	۷۴	MoSi ₂ 13.5at% Al/20Vol% TiC

۴. در فرایند آلیاژسازی مکانیکی اضافه کردن ۴/۵ الی ۹ درصد اتمی آلومینیم به مخلوط پودری Mo و Si و عملیات حرارتی در دمای ۱۱۰۰ درجه سانتی گراد موجب آلیاژی شدن دی سیلیساید مولیبدن و افزایش پارامتر شبکه شد.

۵. افزایش آلومینیم بالاتر از ۹ درصد اتمی به مخلوط پودری Mo و Si در فرایند آلیاژسازی مکانیکی و عملیات حرارتی در دمای ۱۱۰۰ درجه سانتی گراد، علاوه بر آلیاژی شدن دی سیلیساید مولیبدن، فاز Mo(Si,Al)₂ نیز تشکیل شد.

افزایش درصد Al مجموع درصد وزنی دو فاز Al₂O₃ و Mo(Si,Al)₂ افزایش یافته است.

۴- نتیجه‌گیری

۱. آسیاب‌کاری مکانیکی مخلوط پودری سیلیسیم، مولیبدن و آلومینیم پس از ۲۰ ساعت، تنها منجر به ریز شدن و توزیع یکنواخت ذرات می‌شده و هیچ گونه انحلالی رخ نداده یا ترکیب جدیدی حاصل نمی‌شود.

۲. اندازه‌ی متوسط ذرات پس از ۲۰ ساعت آسیاب‌کاری در حدود ۱ میکرون اندازه‌گیری شد.

۳. ترکیب دی سیلیساید مولیبدن و همچنین Mo(Si,Al)₂ پس از ۲۰ ساعت آسیاب‌کاری و عملیات حرارتی در دمای ۱۱۰۰ درجه سانتی گراد حاصل شد.

واژه‌نامه

1. torr

1. Vasudevan, A.K., and Petrovic, J.J., "A Comparative Overview of Molybdenum Desilicide Composites", *Materials Science and Engineering*, Vol. A155, pp. 1-17, 1992.
2. Mitra, R., "Mechanical Behavior and Oxidation Resistance of Structural Silicides", *International Materials Reviews*, Vol. 51, pp. 13-64, 2006.
3. Yao, Z., Stiglich, J., and Sudarshan, T. S., "Molybdenum Silicide Based Materials and Their Properties", *Materials Engineering and Performance*, Vol. 8, pp. 291-304, 1999.
4. Hvizdos, P., and Dusza, J., "Creep Behavior of MoSi₂ and MoSi₂+SiC Composite", *Material Science*, Vol. 39, pp. 4073-4077, 2004.
5. Liu, Y. Q., Shao, G., and Tsakiroopoulos, P., "On the

مراجع

- Oxidation Behavior of MoSi₂", *Intermetallics*, Vol. 9, pp. 125-136, 2001.
- Courtright, E. L., "A Comparison of MoSi₂ Matrix Composites with Other Silicon-Base Composite System", *Material Science and Engineering*, Vol. A261, pp. 53-63, 1999.
- Hvizdos, P., Besterici, M., Ballokovalova, B., Scholl, R., and Bohm, A., "Creep Behaviour of MoSi₂-SiC and MoSi₂-HfO₂", *Materials Letters*, Vol. 51, pp. 485-489, 2001.
- Newman, A., Sampath, S., and Herman, H., "Processing and Properties of MoSi₂-SiC and MoSi₂-Al₂O₃", *Materials Science and Engineering*, Vol. A261, pp. 252-260, 1999.
- Sun, L., and Pan, J., "Fabrication and Characterization

- of TiC-Particale- Reinforced MoSi₂ Composites”, *Journal of the European Ceramic society*, Vol. 22, pp. 791-796, 2002.
10. Sun, L., and Pan, J., “Fabrication and Characterization of TiC_w/MoSi₂ and SiC_w/MoSi₂ Composites”, *Materials letters*, Vol. 52, pp. 223-228, 2002.
11. Petrovic, J. J., “Toughening Strategies for Mosi₂-Based High Temperature Structural Silicides”, *Intermetallics*, Vol. 8, pp. 1175-1182, 2000.
12. Shrif, A. A., Misra, A., Petrovic, J. J., and Mitchell, T. E., “Alloying of MoSi₂ for Improved Mechanical Properties”, *Intermetallics*, Vol. 9, pp. 869-873, 2001.
13. Zhang, H., Lng, C., Chen, P., Tang, G., and Liu, X., “Synthesis and Properties of MoSi₂ Alloyed with Aluminum”, *International Journal of Refractory metals & Hard materials*, Vol. 21, pp. 75-79, 2003.
14. Krakhmaler, P.V., Strom, E., and li, C., “Microstructure and Properties Stability of Al-Alloyed MoSi₂ Matrix Composites”, *Intermetallics*, Vol. 12, pp. 225-233, 2004.
15. Zhang, G. J., Yue, X. M., and Watanabe, T., “Synthesis of Mo(Si,Al)₂ Alloy by Reactive Hot Pressing at Low Temperatures for a Short time”, *Materials Science and Engineering*, Vol. 34, pp. 593-597, 1999.
16. Bhattacharya, A. K., and Ramasesha, S. K., “Effect of Temperature and Soaking Time on the Synthesis of Mo(Al,Si)₂”, *Ceramics International*, Vol. 27, pp. 829-831, 2001.
17. Ramberg, C. E., and Worrel, W. L., “Fabrication and High Temperature Phase Stability of Mo(Si,Al)₂-MoSi₂ Intermetallics”, *Journal of American Ceramic Society*, Vol. 83, pp. 946-948, 2000.
18. Harada, Y., Murata, Y., and Morinaga, M., “Solid Solution Softening and Hardening in Alloyed MoSi_{2”} *Intermetallics*, Vol. 6, pp. 529-535, 1998.
19. Liu, Y., Shao, G., and Tsakiroopoulos, P., “Thermodynamic Reassessment of Mo-Si and Al-Mo-Si Systems”, *Intermetallics*, Vol. 8, pp. 953-962, 2000.
20. Nowotny, H., “A contribution to Mo-Si-Al Ternary System”, *Monatsh Chem*, Vol. 90, pp. 313-318, 1960.
21. Kaufman, M. J., “Intermetallic Matrix Composites Via In-Situ Displacement Reactions”, *Office of Naval Research/DARPA*, Grant No. N00014-91-J-4132, 1997.
22. Kang, P., and Yin, Z., “Phase Formation During Annealing As-Milled powders of Molybdenum Disilicide”, *Material Letters*, Vol. 57, pp. 4412-4417, 2003.
23. Zuo, K., Xi, S., and Zhuo, J., “Structure Evaluation and Thermodynamics Analysis of MoSi₂ During Mechanical Alloying”, *Materials Science and Engineering: A*, Vol. 445-446, pp. 48-53, 2007.
24. Liu, L., Padella, F., Guo, W., and Magini, M., “Solid State Reactions Induced by Mechanical Alloying in Metal-Silicon (metal=Mo, Nb) Systems”, *Acta Metallurgical Material*, Vol. 43, pp. 3755-3761, 1995.
25. Culity, B. D., *Elements of x-Ray Diffraction*, 2th ed., Addison-Wesley, California, 1978.
۲۶. طوقیانع، ”ارزیابی رفتار سایشی ترکیب بین فلزی پاشش گرمایی فعالسازی شده توسط آسیاب کاری مکانیکی”， پایاننامه مقطع کارشناسی ارشد دانشکده مواد، دانشگاه صنعتی اصفهان، ۱۳۸۷.
27. Suryanarayana, C., “Mechanical Alloying and Milling”, *Materials Science*, Vol. 46, pp. 13-19, 2001.
28. Zhu, Q., Shobu, K., Zeng, Y., and Watanabe, T., “Oxidation Behavior of Hot-Pressed MoSi₂-TiC composite”, *Journal of Materials Science*, Vol. 36, pp. 313-319, 2001.
29. Jayashankar, S., “Structure/Properties/Processing Relationships in Molybdenum Disilicide/Silicon Carbide Composites”, Ph.D. Thesis, University of Florida, 1996.
30. Cotton, J. D., Kim, Y. S., and Kaufman, M. J., “Effect of Second Particles on the Mechanical Properties of MoSi_{2”}, *Materials Science and Engineering*, Vol. A144, pp. 287-291, 1991.
31. Meng, J., Lu, J., Wang, J., and Yang, S., “Preparation and Properties of MoSi₂ Composites Reinforced by TiC, TiCN, and TiB_{2”}, *Materials Science and Engineering*, Vol. A396, pp. 277-284, 2005.
32. Mitra, R., Rama, V. V., and Venugopal, A., “Effect of Small Aluminum Additions on Microstructure and Mechanical Properties of Molybdenum Di-Silicide”, *Intermetallics*, Vol. 7, pp. 213-232, 1999.
33. Kittel, C., *Introduction to Solid State Physics*, 5th ed., John Wiley and Sons, New Delhi, 1987.